

استفاده از شبکه عصبی مصنوعی در برآورد ضریب انتشار طولی آلاینده در رودخانه

اکبر صفرزاده گندشمن، پرویز نقی، حبیب خداوری‌لو و مهدی کوچکزاده

به ترتیب دانشجوی کارشناسی ارشد مهندسی عمران آب - دانشگاه تربیت مدرس، دانشجوی دکتری آبیاری - دانشگاه تربیت مدرس، دانشجوی دکتری خاکشناسی - دانشگاه تربیت مدرس و استادیار گروه آبیاری، دانشگاه تربیت مدرس

است، هدرفت آلاینده در طی مسیر جریان نیز تابعی درجه اول فرض می‌گردد. با توجه به معادله بیلان جرمی (جرمهای ورودی و خروجی) معادله انتقال آلاینده در یک سیستم آبی در مقطعی از آن سیستم بدین گونه است (۱) :

$$\text{Inflow: } QC\Delta t - D_L A \frac{\partial C}{\partial x} \Delta t \quad (1)$$

$$Q \left[C + \frac{\partial C}{\partial x} \Delta x \right] \Delta t - D_L A \left[\frac{\partial C}{\partial x} + \frac{\partial^2 C}{\partial x^2} \Delta x \right] \Delta t \quad (2)$$

Outflow:

$$\text{Sink: } U k C \Delta t \quad (3)$$

که در آنها: Q دبی یا جریان حجمی در واحد زمان (m^3/s), C غلظت آب آلوده شده (mg/lit or mg/m^3), D_L ضریب انتشار طولی (m^2/s), X فاصله نقطه ورود آلاینده تا محل مورد بررسی (m), U سرعت متوسط آب (m/s) و k ضریب هدرفت آلاینده در آب (s^{-1}).

در معادلات فوق، ضریب انتشار طولی (D_L) - که بیانگر نرخ اختلاط آلاینده یا رسوب معلق در امتداد کانال می‌باشد - پارامتر کلیدی در مدل‌سازی عددی انتشار آلودگی و نیز پدیده انتقال رسوب (بار معلق) است. پژوهشها نشان می‌دهند که پارامترهای بیشماری بر ضریب انتشار طولی آلاینده در رودخانه تاثیر می‌گذارند. فیشر با اندازه-گیری‌هایی نشان داد که مقدار این پارامتر برای رودخانه‌های مختلف، تعییرات زیادی دارد (۳). بطور کلی، پارامترهای موثر بر ضریب انتشار طولی آلاینده را می‌توان به دو دسته پارامترهای هیدرولیکی جریان و شرایط هندسی مجارا تقسیم‌بندی کرد. به بیان ریاضی می‌توان نوشت:

مقدمه

گسترش روزافزون فعالیتها و تمرکز نیروهای انسانی همراه با رشد و تکامل صنعت و کشاورزی مشکلات زیادی برای منابع آب ایجاد کرده است. ورود پسابها و آلودگی‌های صنعتی و کشاورزی به منابع آب از جمله این مشکلات است. در این میان، منابع آبی سطحی، خصوصاً رودخانه‌ها بیش از دیگر منابع در معرض خطر هستند.

بطور معمول ورود آلاینده‌ها به منابع آبهای سطحی به دو شکل نقطه‌ای (مانند آلاینده‌های خروجی از یک کارخانه شیمیائی، نیروگاه اتمی و یا یک واحد تصفیه فاضلاب) و غیرنقطه‌ای (مانند ورود سموم از مزارع کشاورزی و یا حوضه‌های آبریز به داخل رودخانه) صورت می‌گیرد. ورود یک آلاینده شیمیائی به سیستم آبی اثرات زیان‌باری بر کیفیت آب و خاک پائین دست می‌گذارد. بدین منظور لازم است تا تئوری پدیده حاکم بر میدان مزبور شناسائی شده و فرایند پخش و انتقال ماده آلوده کننده با استفاده از معادلات حاکم پیش‌بینی گردد. از آنجاکه معادلات حاکم بر پخش آلودگی در رودخانه دارای ضوابط تجربی است، لذا برای استفاده از روش‌های از قبیل روش‌های عددی باید ضرائب مزبور به مدل معرفی شوند.

آلاینده پس از ورود به جریان یک سیال، در یک زمان معین در جهات مختلف با سیال ترکیب شده و منجر به توزیع یکواخت غلظت در داخل مقطع عرضی می‌شود. پس از این زمان، ماده مورد نظر متناسب با شرایط جریان و هندسه کانال در امتداد جریان پخش می‌گردد. لذا، برای یک سیستم آبی (رودخانه) فرض می‌کنیم که آلاینده پس از تزریق در محل مورد نظر بطور کامل با آب مخلوط می‌گردد. افزون بر این برای سادگی، جریان یک بعدی در نظر گرفته شده و لذا تنها پراکندگی طولی (Longitudinal Dispersion) و سرعت جریان آب (Advection Phenomena) در انتقال آلاینده مؤثر

و برای آموزش و آزمون دقت و صحت شبکه استفاده گردید. در این مرحله، پراکندگی داده‌های آموزش با سعی و خطابه گونه‌ای انتخاب شد که شبکه جوابهای بهتری را نسبت به داده‌های آزمایشی بدهد. برای آموزش شبکه از نرمافزار THINKS PRO استفاده شد. بر پایه پژوهش‌های پیشین یک شبکه پرسپترون با یک لایه میانی در برآورد هر تابع غیرخطی توانست. بنابراین، برای تعیین تعداد لایه‌های پنهان شبکه ابتدا با فرض داشتن یک لایه، اقدام به یافتن تعداد مطلوب نرون‌ها گردید. بدین منظور، با تغییر تعداد نرون‌های لایه پنهان از ۱ تا ۳۵ شبکه آموزش داده شد و میانگین مربعات خطای در هر گام ثبت گردید. در پایان، تعداد ۱۳ نرون در لایه پنهان با داشتن کمترین خطای در مرحله آموزش و آزمون به عنوان مناسب‌ترین حالت انتخاب گردید (شکل ۱).

سپس، توابع آستانه مختلفی برای نرونهای لایه‌های میانی و خروجی درنظر گرفته شد که شبکه‌ای با تابع سیگموئیدی دو قطبی در لایه پنهان و تابع خطی در لایه خروجی کمترین خطای را داشت. مقدار بهینه آهنگ یادگیری (α) با روش سعی و خطاب برابر با 0.01 انتخاب شد. در پایان، اقدام به آموزش نهایی شبکه گردید و وزن نهایی نرون‌ها تعیین شد. با توجه به نمودار تغییرات خطای شبکه بر حسب تعداد تکرار روند آموزش (شکل ۲)، تعداد تکرار 1250 دارای حداقل خطای آزمون بود و به عنوان تکرار مناسب انتخاب گردید.

نتایج و بحث

شکل‌های (۳) و (۴) پیش‌بینی‌های شبکه عصبی طراحی شده و مدل‌های تجربی (معدلات ۵ و ۶) را برای سری داده‌های آزمون و تست شبکه نسبت به نتایج اندازه‌گیری نشان می‌دهند. بر اساس این نتایج، همخوانی نتایج شبکه عصبی با مقادیر اندازه‌گیری شده نسبت به دو مدل تحلیلی بسیار بهتر است. برای برسی کمی دقت مدل‌های مورد نظر از آماره‌های زیر استفاده شد (جدول ۱).

$$D_1 = f(U, U_*, H, W, v) \quad (4)$$

که U سرعت پرشی، H عمق جریان، W عرض رودخانه و v لزجت سینماتیکی جریان می‌باشد.

بر پایه پژوهش‌های پیشین، روابط گوناگونی بر مبنای شرایط جریان و هندسه کanal با استفاده از رگرسیون و تحلیل پارامترهای بی بعد زیرین

برای برسی ضریب انتشار طولی ارائه شده است. ستو و چنونی (۱۹۹۸) رابطه (۵) و فالکوت (۲۰۰۲) رابطه (۶) را برای بیان پارامتر بی بعد ضریب انتشار طولی ارائه کردند (۴ و ۵):

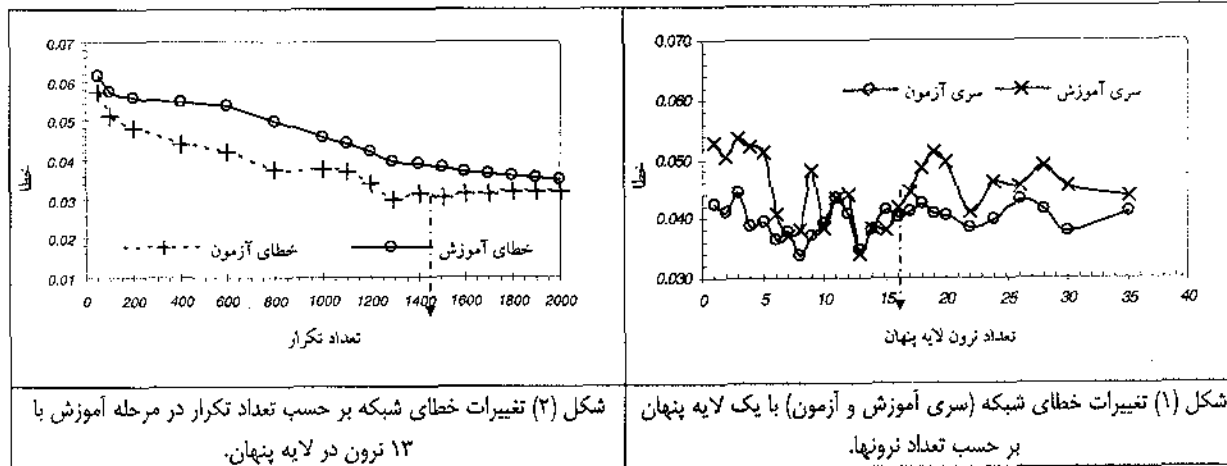
$$\frac{D_L}{H U_*} = 5.915 \left(\frac{W}{H} \right)^{0.620} \left(\frac{U}{U_*} \right)^{1.428} \quad (5)$$

$$\frac{D_L}{H U_*} = \left[7.428 + 1.775 \left(\frac{W}{H} \right)^{0.620} \left(\frac{U}{U_*} \right)^{0.572} \right] * \left(\frac{U}{U_*} \right)^2 \quad (6)$$

که این روابط به ترتیب مدل‌های تحلیلی اول و دوم نامیده می‌شوند. تمام روابط ارائه شده برای ضریب انتشار طولی، بر اساس داده‌های منطقه‌ای خاص بوده و باید با استفاده از ابزاری مناسب این ضریب را برای نواحی مختلف پیش‌بینی کرد. هدف از این مقاله پیش‌بینی ضریب انتشار طولی آلاندۀ در معادلات جایگائی-انتشار با استفاده از شبکه عصبی مصنوعی است.

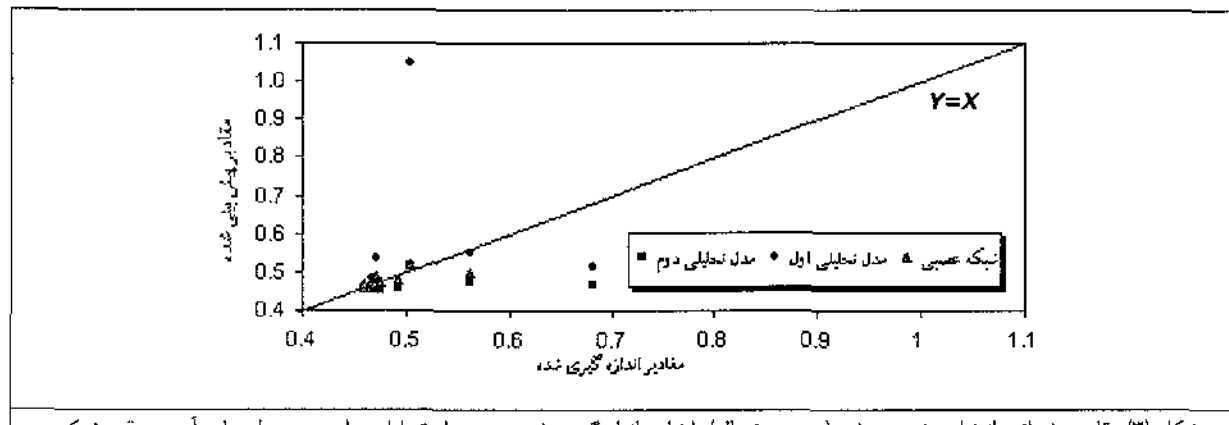
مواد و روش‌ها

در این پژوهش از شبکه عصبی با ساختار پرسپترون چند لایه با فرایند پیشرو استفاده گردید که در آن 81 سری داده از مراجع مختلف برگرفته است. سپس، داده‌ها به سه دسته‌به اندازه‌های 10 و 15 و 21 تقسیم

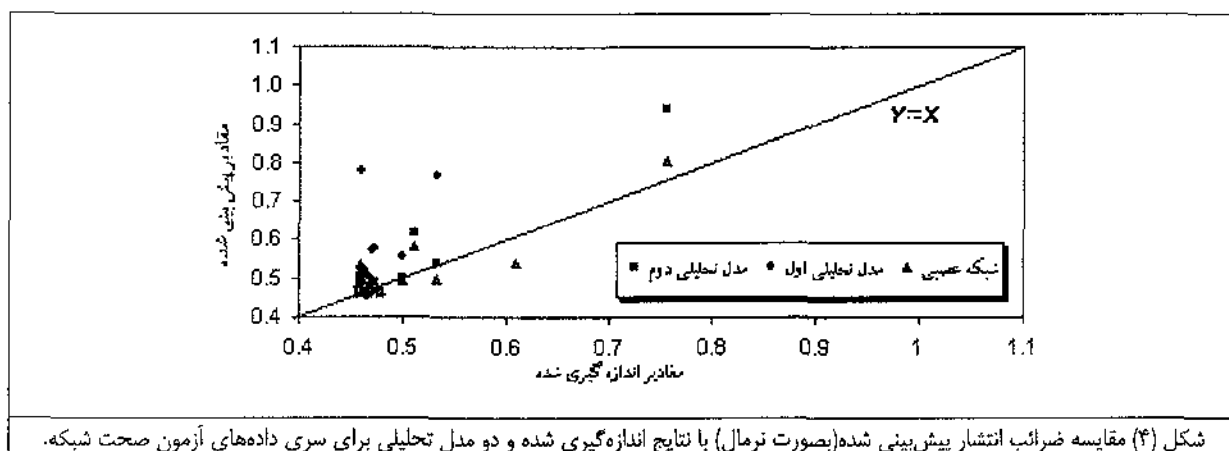


شکل (۲) تغییرات خطای شبکه بر حسب تعداد تکرار در مرحله آموزش با 13 نرون در لایه پنهان.

شکل (۱) تغییرات خطای شبکه (سری آموزش و آزمون) با یک لایه پنهان بر حسب تعداد نرونها.



شکل (۳) مقایسه ضرائب انتشار پیش‌بینی شده (تصویر نرمال) با نتایج اندازه‌گیری شده و دو مدل تحلیلی برای سری داده‌های آزمون دقت شبکه.



شکل (۴) مقایسه ضرائب انتشار پیش‌بینی شده (تصویر نرمال) با نتایج اندازه‌گیری شده و دو مدل تحلیلی برای سری داده‌های آزمون صحت شبکه.

پارامترهای فوق در بازه ۰ و ۱ نرمال شده و برای اندازه‌گیریها، مدل‌های تحلیلی اول و دوم و شبکه عصبی مصنوعی محاسبه شده‌اند.

شکل (۵) تغییرات متغیر مستقل ($\frac{D_t}{HU_*}$) نسبت به متغیرهای

$$\text{ورودی } \left(\frac{W}{H} \text{ و } \frac{U}{U_*} \right) \text{ را نشان می‌دهد. با توجه به شکل (۵)، توزیع}$$

پیش‌بینی مدل تحلیلی اول بسیار ضعیف است. مدل دوم نسبت به مدل اول از دقت بالاتری دارد و الگوی تغییرات ضریب انتشار طولی همخوانی نسبتاً خوبی با اندازه‌گیریها دارد. مقایسه شکل‌های (۵-الف) و (۵-د) بیانگر دقت بالای شبکه عصبی طراحی شده در پیش‌بینی تغییرات ضریب انتشار طولی و انعطاف‌پذیری بیشتر این مدل نسبت به دو مدل تحلیلی است.

بر پایه این مطالعه با توجه به دقت بالای شبکه عصبی مصنوعی در برآورد تغییرات ضریب انتشار طولی آلاینده در جریان رودخانه، وزن نهائی اتصالات شبکه و تابع تبدیل مورد استفاده را می‌توان در يک مدل عددی برای محاسبه ضریب انتشار طولی در مدل‌سازی مسائلی از قبیل کیفیت آب، انتشار آلودگی و فرایند انتقال رسوب بکار گرفت.

۱- نسبت اختلاف (Discrepancy Ratio):

$$DR = \log_{10} \frac{D_{tp}}{D_{tm}} \quad (8)$$

۲- متوسط خطأ (Mean of Error):

$$ME = \frac{1}{N} \sum_{i=1}^N |DR_i| \quad (9)$$

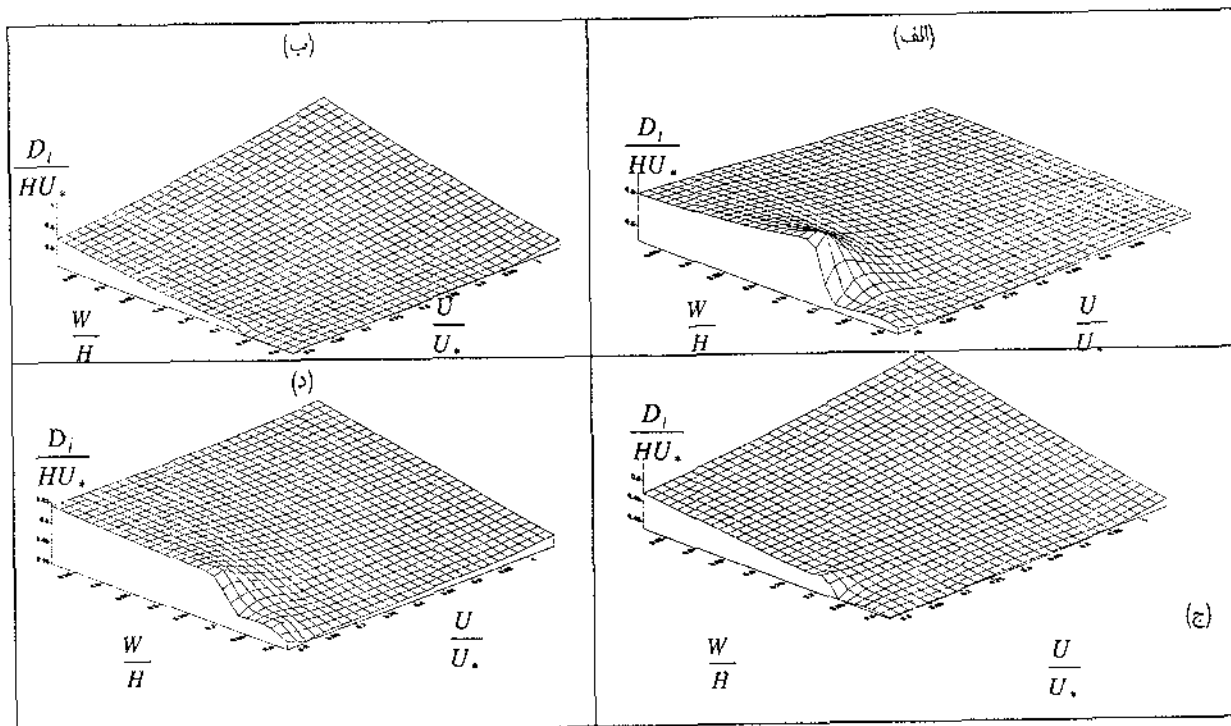
که D_{tp} و D_{tm} به ترتیب بیانگر مقادیر پیش‌بینی شده و اندازه‌گیری شده ضریب انتشار طولی است. در صورتیکه این دو مقدار با هم برابر باشند، مقدار DR برابر صفر خواهد شد. پیش‌بینی مدل در DR بزرگتر از صفر، دست‌بالا و در DR کمتر از صفر، دست‌پایین است. دقت مدلی بالاتر است که متوسط خطأ به صفر نزدیکتر باشد. با توجه به جدول (۱)، خطای پیش‌بینی شبکه عصبی مصنوعی کمتر از مدل‌های تحلیلی مورد مطالعه است.

برای بررسی تغییرات ضریب انتشار طولی با متغیرهای ورودی سیستم پارامترهای ورودی و خروجی از نظر هیدرولیکی بصورت زیر بیان شده‌اند:

$$\frac{D_t}{HU_*} = f \left(\frac{U}{U_*}, \frac{W}{H} \right) \quad (10)$$

جدول (۱) مقایسه مدل‌های مختلف با استفاده از تحلیل آماری

مدل	تعداد از ۸۱ عدد			ME
	DR<0.3	-0.3<DR<0.3	DR>0.3	
شبکه عصبی مصنوعی	۱۰	۵۳	۸	+/۱۷۴
مدل تحلیلی شماره ۱	۸	۵۱	۲۲	+/۳۱۵
مدل تحلیلی شماره ۲	۱۵	۵۲	۱۴	+/۲۲۱



شکل (۵) تغییرات ضریب انتشار بی بعد شده نسبت به دو متغیر ورودی بی بعد شده (الف: توزیع در حالت اندازه گیری شده، ب: پیش‌بینی توسط مدل تحلیلی اول، ج: پیش‌بینی توسط مدل تحلیلی دوم و د: پیش‌بینی توسط شبکه عصبی مصنوعی).

3- Fischer, H.B. 1968. Dispersion predictions in natural streams. Journal of Sanitary Engineering Division. ASCE, 93: 187-216.

4- Seo, I.W. and T.S Cheong. 1998. Predicting longitudinal dispersion coefficient in natural streams. Journal of Hydraulic Engineering, ASCE, 124: 25-32.

منابع مورد استفاده

- 1- Daily, W. and D. Harleman. 1966. Fluid dynamics. Addison-Wesley Publishing Company.
- 2- Falconer, R.A. 2002. Longitudinal dispersion coefficient in natural channels. Water Research, 36(6):1596-1608.